



## سنتر پودر اکسید سریم و اکسید نیکل دوب پ شده به طور همزمان در زیرکونیای پایدار شده با ایتریا توسط روش سل-ژل

زهرا ابوالقاسمی<sup>۱\*</sup>، مرتضی تمیزی فر<sup>۲</sup>، کاووه ارزانی<sup>۱</sup>، علی نعمتی<sup>۳</sup> و ارسیا خانفکر<sup>۲</sup>

۱- دانشگاه آزاد اسلامی، واحد علوم و تحقیقات تهران، دانشکده مواد و متالورژی، تهران، ایران

۲- دانشکده مواد، دانشگاه علم و صنعت ایران، تهران

۳- دانشکده مهندسی و علم مواد، دانشگاه صنعتی شریف، تهران، ایران

تاریخ ثبت اولیه: ۱۳۹۱/۱۱/۱۵، تاریخ دریافت نسخه اصلاح شده: ۱۳۹۲/۰۱/۲۵، تاریخ پذیرش قطعی: ۱۳۹۲/۰۳/۱۳

### چکیده

این تحقیق با هدف بررسی ویژگی‌های سنتر پودر اکسید سریم و اکسید نیکل که به طور همزمان در زیرکونیای پایدار شده با ایتریا دوب شدن، انجام گرفته است. روش انتخابی برای سنتر، سل-ژل پلیمری (پچینی) می‌باشد. این روش قابلیت تولید محصولاتی همگن با خلوص و اکتیویته بالا را دارد. برای تهییه پودر زیرکونیای پایدار شده با ایتریا (۸ درصد مولی ایتریا) از تراکلراید زیرکونیم و نیترات ایتریم به عنوان منبع تامین زیرکونیا و ایتریا، همچنین از نیترات سریم و نیترات نیکل به عنوان منبع تامین سریما و اکسید نیکل استفاده شد. نمونه‌های سنتر شده بعد از خشکایش در دمای  $140^{\circ}\text{C}$  به مدت ۲۶ ساعت، در دمای  $900^{\circ}\text{C}$  به مدت ۲ ساعت کلسینه شدند. ویژگی‌های پودر سنتر شده به کمک روش‌های DTA/TG، XRD، SEM و TEM به ترتیب برای بررسی محدوده دمای تشکیل فاز، تشخیص فازهای موجود در آن و بررسی خواص ریزاساختاری مورد بررسی قرار گرفت. نتایج آنالیز حرارتی محدوده دمایی تشکیل فاز بدست آمده از آنالیز XRD را تایید می‌کند. اندازه متوسط کریستالی فاز مورد نظر که توسط روش شر محاسبه شد،  $11\text{ nm}$  می‌باشد. بر اساس نتایج SEM و TEM مورفولوژی کروی گزارش شده است.

واژه‌های کلیدی: سل-ژل، زیرکونیای پایدار شده با ایتریا، اکسید سریم، اکسید نیکل.

عنوان یک الکتروولیت مناسب عمل نمی‌کند و از هدایت یونی پایینی برخوردار است. اضافه کردن اکسیدهای دو و سه ظرفیتی باعث پایداری فاز مکعبی می‌شود و با افزایش غلظت جاهای خالی اکسیژن، هدایت یونی افزایش پیدا می‌کند. ماده حاصله شامل خواصی همچون پایداری مناسب در اتمسفرهای اکسیدی و احیایی در دمای بالا و غیررسمی بودن است. ایتریا یکی از معمول‌ترین افزودنی‌ها برای پایدار کردن است و این پایداری باعث استفاده مناسب از این محصول به عنوان الکتروولیت می‌شود [۱، ۲].

### ۱- مقدمه

زیرکونیا ماده‌ای است که شامل خصوصیاتی از جمله دمای ذوب بالا، استحکام مکانیکی خوب، هدایت حرارتی پایین، هدایت یونی، مقاومت شیمیایی عالی، سختی و مدول الاستیک بالا و چقرمگی مناسب است. YSZ یکی از گسترده‌ترین مواد الکتروولیتی است که برای کاربردهای پلی سوتی و سنسور اکسیژن در محیط‌های احیایی و اکسیدی مورد استفاده قرار می‌گیرد. زیرکونیای خالص به

\* عهده‌دار مکاتبات: زهرا ابوالقاسمی

نشانی: تهران، دانشگاه آزاد اسلامی واحد علوم و تحقیقات، دانشکده مهندسی مواد  
تلفن: ۰۲۱-۴۴۸۶۸۴۷۵، دورنگار: ۰۲۱-۴۴۸۶۸۴۷۴؛ پست الکترونیکی: abolghasemi.zahra@gmail.com

واکنش گرمایی بین اکسید کننده و سوخت دنبال می‌شود، صورت می‌گیرد اما کنترل روند واکنش و کسب همبستگی شیمیایی در این روش مشکل می‌باشد [۸، ۱۱]. روش دیگر بر پایه واکنش حالت جامد در دمای بالا می‌باشد که سادگی این روش و استفاده از اکسیدهای ارزان به عنوان مواد اولیه از مزایای این روش می‌باشد و از معایب این روش می‌توان به دمای واکنش بالا، اندازه ذرات درشت و درجه کمی از یکنواختی شیمیایی اشاره کرد [۱۲]. روش‌هایی مانند سنتز با شعله (فرآیند فاز گاز) [۱۳]، تجزیه حرارتی حالت جامد از پیش سازنده‌های رسوب، شارکلرید مذاب و روش رسوب قلیایی می‌توانند ذرات ریز و هموژن با سطح ویژه بالا تولید کنند اما این روش‌ها پیچیده می‌باشند و نیازمند معرفه‌های بسیار گران قیمت هستند [۱۲]. تکنولوژی سل-ژل از مدت‌ها پیش مورد استفاده بوده است و کاربردهایی در توسعه مواد نوین برای استفاده در کاتالیست‌ها، سنسورهای شیمیایی، ممبران‌ها، فیبرها و تجهیزات الکتروشیمیایی حالت جامد دارد و در رنج وسیعی از حوزه علمی و مهندسی مانند سرامیک، هسته‌ای و الکترونیک مورد استفاده قرار گرفته است [۱۴]. به دلیل مزیت‌های ذاتی این روش نسبت به فرآیندهای مرسوم دیگر که از آن جمله می‌توان به سنتز در دمای کم، خلوص بالا، همگنی مناسب، کنترل دقیق اندازه و توزیع ذرات، روشی مناسب برای مواد کریستالی، استوکیومتری دقیق در تولید ماده نهایی، امکان ساخت تمامی سرامیک‌های اکسیدی، انعطاف‌پذیر برای تهیه مواد نانو با خواص متفاوت، مقرن به صرفه بودن به منظور تهیه نانوذرات اکسید فلزی کامپوزیت یا منفرد، آسان برای تولید انبو و کنترل محصول اشاره کرد، به طور وسیعی استفاده شده است [۱۵-۱۷]. در این میان روش سل-ژل پلیمری (روش پچینی) در میان چندین روش سنتز شیمیایی به دلیل مزیت‌های زیر سیار مورد توجه می‌باشد [۱۸-۲۰]. مجاز به استفاده در دماهای مختلف، توانایی کنترل استوکیومتری ذره و یا آگلومره و مورفولوژی، همگنی ترکیب، سمیت کم برای تولید پودر نانومتری تک فاز، عدم حساست بوجود آب (برای محدودی مواد استثنای)، عدم نیاز به اتمسفر خنثی، قادر به بدست آوردن نمونه‌های عالی همگن با خلوص بالا بدون کنترل دقیق

در ترکیبات SOFC، ترکیب NiO-YSZ به عنوان مواد اولیه برای ساخت آندهای Ni-YSZ استفاده شده است. مطرح شده که محلول جامد از مقدار کمی NiO داخل YSZ در طی سینتر ترکیب NiO-YSZ بوجود می‌آید. با این حال، تحقیقاتی در مورد ارتباط بین محلول جامد NiO و تغییر هدایت یونی YSZ انجام شده است [۱۳]. یکی از مسائل قابل توجه بکار بردن مواد جدید برای کارکرد SOFC در دمای متوسط (IT-SOFC) است. مطالعات بسیاری اخیراً بر روی این موضوع انجام شده است. سیستم بر پایه CeO<sub>2</sub>-YSZ که توسط Gorte و همکارانش مورد مطالعه قرار گرفته، برای کارکرد در دمای متوسط مناسب می‌باشد [۱۴]. ذرات اکسید فلزی با ساختارهای، اندازه‌ها و مورفولوژی‌های گوناگون توسط روش‌های مختلف حاصل می‌شوند [۱۵]، که این روش‌ها می‌توانند به عنوان روش‌های شیمیایی مانند رسوب بخار شیمیایی، سنتز فاز بخار، سنتز هیدروترمال، سونوشیمی، فرآیند شیمیایی تر (رسوب شیمیایی، سل-ژل و میکروامولسیون) و یا فیزیکی مانند روش مکانیکی، لیزر، پیرولیز پاششی و چگالش گاز بی‌اثر تقسیم‌بندی شوند [۱۶، ۱۷]. به منظور بدست آوردن نانوبودر زیرکونیای پایدار شده با ایتریا چندین روش سنتز گزارش شده است، مانند روش هم‌رسوبی که در این روش سرامیک‌های زیرکونیا با تافنس بالا از طریق بهینه‌سازی پارامترهای سینتر یا توسط عملیات گرمایی در دمای بالاتر و در مدت زمان طولانی تر حاصل می‌شوند [۱۸]، همچنین منجر به تولید پودرهای هموژن با سایز کوچک می‌شود اما در این روش استوکیومتری مورد نیاز ممکن است از بین بود و یافتن عامل رسوب‌زای مناسب مشکل می‌باشد [۱۹]. فرآیند هیدروترمال روش دیگر سنتز می‌باشد که این روش توانایی تولید پودرهای نانوکریستال طی یک مرحله را دارا می‌باشد و سنتز در دمای پایین انجام می‌شود همچنین ذراتی با توزیع یکنواخت و نرم تولید می‌کند اما روشی است که وابسته به انحلال مینرال‌ها در آب داغ و تحت فشار بالا می‌باشد [۱۰]. سنتز احتراقی روشی است که می‌توان ترکیب پودر نهایی را به طور مستقیم و بدون استفاده از روش میانی تولید کرد همچنین روشی ساده و سریع می‌باشد که شروع فرآیند در دمای پایین با کمک منبع گرمایشی خارجی که توسط

CA/TM برابر با ۴، به دلیل اطمینان از کمپلکس شدن تمام یون‌های فلزی در نظر گرفته شده است [۲۵]. همچنین مقدار pH با توجه به مقالات [۲۶، ۲۷] به علت توزیع اندازه ذرات باریکتر و اندازه ذرات همگن برابر ۸ انتخاب شده است.

## ۲- فعالیت‌های تجربی

برای تهیه پودر از روش سل-ژل پلیمری استفاده شد، به این صورت که تتراکلرید زیرکونیم و نیترات ایتریم با نسبت مولی ۹۲/۰۰-۰/۰۸ برای تولید  $\text{ZrO}_2\text{-}8\text{Y}_2\text{O}_3$  در آب دیونیزه حل شده، سپس نیترات نیکل با ۱/۵٪ مول و نیترات سریم با ۱۵٪ مول به عنوان دوبنت به محلول اولیه برای تهیه ۱.۵Ni/15Ce-8YSZ افزوده شد. اسید سیتریک با نسبت مولی اسید سیتریک به یون‌های فلزی برابر ۴ به محلول قبل اضافه شد. اتیلن گلیکول با نسبت مولی اسید سیتریک به اتیلن گلیکول برابر ۱ به محلول فوق پس از یکنواخت شدن محلول افزوده شد.

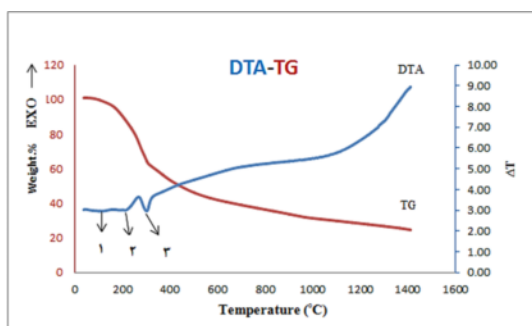
در طول مدت همزدن مواد رساندن pH محلول به pH مناسب (pH=۸)، آمونیا توسط پیپ به صورت قطره قطره به محلول فوق اضافه گردید و مقدار آن به طور پیوسته توسط دستگاه اندازه‌گیر pH اندازه‌گیری شد. محلول بدست آمده به منظور کامل شدن واکنش‌های تشکیل کمپلکس میان اسید سیتریک و یون‌های فلزی (زیرکونیم و ایتریم) و همچنین واکنش‌های تشکیل پلی‌استر میان CA و EG در دمای ۸۰°C بر روی صفحه داغ توسط همزن مغناطیسی، همزده شد. آب محلول به طور پیوسته با نگه داشتن محلول در دمای فوق تبخیر شد و در نهایت سل به یک ژل غلیظ تبدیل شد که هیچگونه جدایش فازی در آن مشاهده نشد. ژل بدست آمده در دمای ۱۴۰°C به مدت ۲۴ ساعت در یک خشک‌کن حرارت داده شد.

به ماده بدست آمده ژل خشک شده گفته می‌شود. ژل خشک شده توسط یک هاون عقیق مقداری آسیا شد. مقداری از پودر حاصل شده مورد آزمایش DTA-TG قرار گرفت و در نهایت با انجام عملیات کلسیناسیون سانتیگراد بر دقیقه بر روی ژل خشک شده در کوره با

شرایط و زمان فرآیند ژل شدن، قادر به تشکیل ترکیب مورد نظر در مقیاس نانومتری می‌باشد، زیرا اختلاط مواد اولیه در آب در مقیاس اتمی انجام می‌شود و این امر منجر به افزایش سرعت انجام واکنش و کاهش دمای سنتر می‌شود. همچنین به دلیل دمای پایین واکنش و خروج مواد آلی به صورت گاز از رشد ذرات جلوگیری می‌شود و پودرهای حاصل شده دارای سطح ویژه بالا و تخلخل زیاد می‌باشند، و بر پایه عدم تحرک یون‌های فلزی در یک شبکه پلیمری، استوار است به گونه‌ای که یون‌های فلزی در مقیاس اتمی، بدون رسوب و یا جدایش فازی در این شبکه پلیمری به صورت کمپلکس پخش می‌گردد. در این روش از انواع نمک‌های فلزی مانند کلریدها، کربنات‌ها، هیدروکسیدها، ایزوپروپوکسیدها و نیترات‌ها می‌توان استفاده نمود، سپس یک پلی هیدروکسی الکل (مانند اتیلن گلیکول (EG)) بعد از انحلال اسید سیتریک (CA) افزوده می‌شود، اسید با یون‌های فلزی تشکیل کمپلکس آلی (سیترات فلزی) می‌دهد و با افزودن EG کمپلکس‌های تشکیل شده و همچنین مقداری از اسید باقیمانده با الکل وارد واکنش می‌گردد و تولید استر آلی و آب می‌نمایند. سپس دما برای سرعت بخشیدن به تشکیل پلی استر به علت واکنش بین اسید سیتریک آزاد و اتیلن گلیکول افزایش می‌یابد که منجر به تولید یک سل همگن می‌گردد که یون‌های فلزی به طور یکنواخت در زمینه آلی گسترش دهداند. بعد از تشکیل پلاستیک شبه ژل، دما برای حذف اتیلن گلیکول اضافی بیشتر افزایش می‌یابد. در نهایت ژل بدست آمده، خشک شده و در دمایی مناسب که در آن دما مواد آلی کاملا خارج می‌شوند. برای اکسید کردن ترکیب‌های آلی و کریستاله شدن فاز مورد نظر، کلسینه می‌شود. این روش به عنوان روش پچینی (Pechini, ۱۹۶۷) شناخته شده است.

پس زمینه روش پیشنهادی واکنش استری شدن بین گلیکول و اسید کربوکسیلیک (مانند اسید سیتریک، EDTA (اتیلن دی آمین تتر استیک اسید) و غیره) می‌باشد [۲۱-۲۳]. هدف از انجام این پژوهش تهیه نانوپودر از ماده مذکور توسط روش سل-ژل پلیمری است. با توجه به مقالات نسبت مولی CA/EG برابر با ۱، به دلیل ایجاد متخلخل ترین رزین میانی [۲۴] و نسبت مولی

زنگیره گروههای آلی و تجزیه ترکیبات آلی می‌باشد که مواد آلی در این مرحله خارج می‌شوند [۲۹-۳۱]. پیک گرمایی (اگزوترمیک) مشاهده شده از دمای حدود  $400^{\circ}\text{C}$  تا دمای حدود  $900^{\circ}\text{C}$  مربوط به تشکیل ساختارهای اکسید ماده و همچنین تشکیل محلول جامد که منجر به تشکیل ساختار بلوری مکعبی می‌شود، می‌باشد [۳۲، ۳۳]. بعد از اینکه تشکیل ماده اصلی تکمیل شد (آخرین پیک گرمایی) سیر صعودی به صورت صاف و بدون رخ دادن هیچ پیک اضافی دیده می‌شود که احتمالاً مربوط به تشکیل کامل ماده می‌باشد.



شکل ۱: منحنی DTA/TG مربوط به ژل خشک شده Ni/Ce-YSZ

## - ۲-۳ - بررسی نتایج آنالیز XRD

شکل ۲ الگوی پراش اشعه ایکس مربوط به کلسینه شدن ژل خشک شده در دمای  $900^{\circ}\text{C}$  را نشان می‌دهد. در حین عملیات کلسینه کردن تا دمای  $900^{\circ}\text{C}$  پیک‌های مربوط به Ni/Ce-YSZ در الگوی پراش ماده ظاهر شده است. این مشاهدات نشان دهنده بلوری شدن ماده می‌باشد. مقایسه پیک‌ها در شکل ۲ با مقایسه پیک‌ها با توجه به کارت‌های استاندارد ۱۴۶۸-۳۰ برای YSZ و ۱۱۷۹-۷۱ برای اکسید سریم و ۳۰-۰۹۳۴ برای اکسید گرفته است. برای اندازه‌گیری میانگین اندازه نیکل انجام گرفته است. برای اندازه‌گیری میانگین اندازه بلورک‌های پودر سنتز شده از رابطه شرر (رابطه ۱) استفاده شد.

$$D = 0.9\lambda/B \cos\theta \quad (1)$$

در این رابطه B پهنهای بلندترین پیک در نیمه ارتفاع آن بر حسب رادیان،  $\lambda$  طول موج اشعه ایکس ( $CuK\alpha$ ) بر حسب

اتمسفر هوا پودر نانوساختار بدبست آمد. جدول ۱ نشان دهنده اختصار عبارات استفاده شده در متن می‌باشد همچنین مشخصات مواد اولیه در جدول ۲ درج شده است.

#### جدول ۱: اختصار عبارات استفاده شده در متن.

عبارت اصلی	اختصار عبارت
CeO <sub>2</sub>	Ce
NiO	Ni
Ni/Ce-YSZ	NiO/CeO <sub>2</sub> -YSZ
1.5/molNiO/15/molCeO <sub>2</sub> - 8/molYSZ	1.5Ni/15Ce-8YSZ

## جدول ۲: مشخصات مواد اولیه مورد استفاده.

نام ماده	فرمول شیمیایی	شرکت سازنده
تراتاکلرید زیر کوئیوم	ZrCl <sub>4</sub>	Merck, ≥٪۹۸ ۸۰۸۹۱۳۰
نیترات ایتریم شش آبه	Y(NO <sub>3</sub> ) <sub>3</sub> .6H <sub>2</sub> O	Korea, ≥٪۹۹/۹ ۳۸۸/۰۱
نیترات سریم شش آبه	Ce(NO <sub>3</sub> ) <sub>3</sub> .6H <sub>2</sub> O	Merck, ≥٪۹۸/۵ ۱۰۲۲۷۱۰
نیترات نیکل شش آبه	Ni(NO <sub>3</sub> ) <sub>2</sub> .6H <sub>2</sub> O	Merck,٪۹۹/۹ ۱۰۶۷۲۱
اسید سیتریک	C <sub>6</sub> H <sub>8</sub> O <sub>7</sub>	Merck ۸۱۸۷۰۷
اتیلن گلیکول	C <sub>2</sub> H <sub>6</sub> O <sub>2</sub>	LoT A164۴۳
آب دیونیزه	H <sub>2</sub> O	C۲۳P۱۱X
آمونیا	NH <sub>4</sub> OH	Merck,٪۲۵ ۱۰۵۴۳۲

٣ - نتایج و بحث

۱-۳ برسی آنالیز DTA/TG

به منظور شناسایی عواملی از قبیل دمای کریستاله شدن، دمای تجزیه مواد آلی از دستگاه STA استفاده شد. بدین منظور ژلهای خشک شده با آهنگ گرمایشی  $5^{\circ}\text{C}/\text{min}$  و در اتمسفر هوا تحت آنالیز DTA/TG قرار گرفتند. مطابق شکل ۱، اولین پیک گرمایگر (اندوتورمیک) مربوط به آب زدایی (از بین رفتن آب) می‌باشد [۲۸]. پیک گرمایگر دوم تصور می‌شود که به دلیل دهیدراسیون ژل و تبخیر EG واکنش نداده باشد [۲۴، ۲۲]. پیک گرمایگر سوم که شارپ می‌باشد احتمالاً مربوط به گستته شدن

تصویر SEM نشان دهنده مورفولوژی کروی به همراه تشکیل آگلومره بین نانوپودرها می‌باشد که نوعی از مواد پلیمری غیرآلی با تخلخل و سطح زیاد را نشان می‌دهد. میانگین اندازه ذرات که توسط نرم‌افزار Microstructure Measurement محاسبه شده، در جدول ۳ نشان داده شده است.

جدول ۳: میانگین اندازه ذرات (نانومتر).

X data	Y data	Line
۴۸/۱۸۹۲۷۴	۶/۰۲۳۶۵۹	۴۸/۵۶۴۲۹۳
۳۶/۱۴۱۹۵۵	۶/۰۲۳۶۵۹	۳۶/۶۴۰۴۸۹
۴۸/۱۸۹۲۷۴	۱۸/۰۷۰۹۷۸	۵۱/۴۶۶۱۶۷
۴۲/۱۶۵۶۱۴	۶/۰۲۳۶۵۹	۴۲/۵۹۳۷۰۳
۳۰/۱۱۸۲۹۶	۳۶/۱۴۱۹۵۵	۴۷/۰۴۶۲۸۲
-	-	میانگین: ۴۵ ~

#### ۴-۳- بررسی نتایج حاصل از TEM

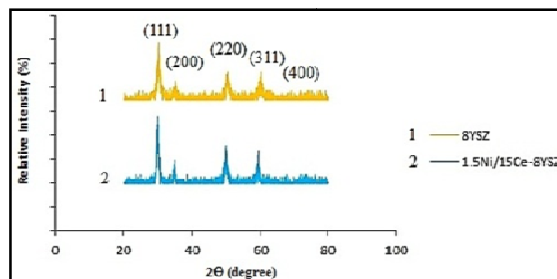
جهت اطمینان از نانو بودن اندازه پودر سنتر شده به روش سل- ژل پلیمری (پچینی)، نمونه ۱/۵Ni/۱۵Ce-YSZ در اتانول و n-هگزان حل و به مدت یک ساعت آلتاسونیک شد. سپس مورفولوژی و اندازه ذرات آن مورد آزمایش قرار گرفت. با توجه به شکل ۴، توزیع ذرات کروی و یکنواخت است. همچنین اندازه دانه‌های محاسبه شده در بزرگنمایی ۱۰۰ هزار برابر (۱۰۰kX)، حدود ۱۷ نانومتر می‌باشد که نتایج حاصل از XRD را تایید می‌کند.



شکل ۴: آنالیز TEM از پودر ۱/۵Ni/۱۵Ce-YSZ.

نانومتر، D قطر متوسط دانه‌ها بر حسب نانومتر و  $\theta$  زاویه پراش بلندترین پیک بر حسب درجه می‌باشد.

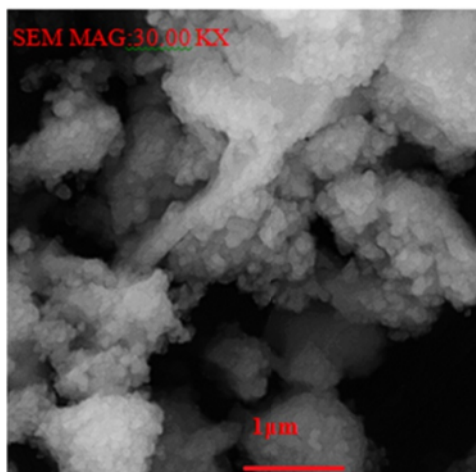
با توجه به شکل ۲، الگوی XRD از نمونه YSZ مربوط به تک فاز زیرکونیای پایدار شده با ایتریا با تقارن مکعبی می‌باشد. افزودن همزمان اکسید سریم و اکسید نیکل منجر به تک فاز مشابه با پیک‌های یکسان و حضور تقارن بلوری YSZ شده است، همچنین موقعیت پیک‌ها را به سمت زوایای کمتر سوق داده است که نشان دهنده غالب بودن دوپنت اکسید سریم نسبت به اکسید نیکل می‌باشد، زیرا ورود یون‌های Ce به داخل شبکه منجر به انساط حجم شبکه و افزایش پارامتر شبکه می‌شود. میانگین اندازه بلورک برای نمونه ۱/۵Ni/۱۵Ce-YSZ، ۱۱ نانومتر محاسبه شده است.



شکل ۲: الگوی پراش اشعه ایکس از نمونه YSZ مربوط به تک فاز زیرکونیای پایدار شده با ایتریا.

#### ۳-۳- بررسی نتایج حاصل از SEM

جهت بررسی مورفولوژی پودر بدست آمده از میکروسکوپ الکترونی روبشی استفاده شده است.



شکل ۳: آنالیز SEM از پودر ۱/۵Ni/۱۵Ce-YSZ.

- [7] S.A. Jadhav, R. Bongiovanni, *Advanced Materials Letters*, **3**, 2012, 356.
- [8] M. Ghatee, J.T. Irvine, *Hydrogen Energy*, **35**, 2010, 9427.
- [9] G. Shao, H. Cai, J. Xie, X. Duan, B. Wu, R. Yuan, J. Guo, *Materials Letters*, **57**, 2003, 3287.
- [10] B.I. Kharisov, O.V. Kharissova, U.O. Mendez, "Microwave Hydrothermal and Solvothermal Processing of Materials and Compounds", Open Access Book, Chapter 5, 2012.
- [11] M. Biswas, P.K. Ojha, E.M. Jayasingh, C.D. Prasad, *Nanomaterials and Nanotechnology*, **1**, 2011, 55.
- [12] S. Sompech, A. Srion, A. Nuntiya, *Science Asia*, **38**, 2012, 102.
- [13] B.M. Kumar, S.Sh. Bhattacharya, *Processing and Application of Ceramics*, **6**, 2012, 165.
- [14] U.G. Akpan, B.H. Hameed, *Applied Catalysis A: General*, **375**, 2010, 1.
- [15] A. Bahari, N. Mirmia, M. Noori, *Science Innovations and Discoveries*, **2**, 2012, 213.
- [16] M.F. Fouda, M.B. Elkholly, S.A. Mostafa, A.I. Hussien, M.A. Wahba, M.F. El-Shahat, *Advanced Materials Letters*, **4**, 2013, 347.
- [17] X. Tao, X. Chen, Y. Xia, H. Huang, Y. Gan, R. Wu, F. Chen, W. Zhang, *Journal of Materials Chemistry A*, **1**, 2013, 3295.
- [18] P.C. Ribeiro, A.C. Figueiredo de Melo da Costa, R.H. Kiminami, J.M. Sasaki, H.L. Lira, *Materials Research*, ISSN, 2012, 1516-1439.
- [19] Sh. Qiu, H. Fan, X. Zheng, *Sol-Gel Science Technology*, **42**, 2007, 21.
- [20] H. Zhang, X. Fu, Sh. Niu, G. Sun, Q. Xin, *Materials Letters*, **61**, 2007, 308.
- [21] S. Sakka, "Sol-Gel Science and Technology Processing Characterization and Application Handbook", NorWell, MA: Technology and Engineering, 2005.
- [22] T. Razpotnik, J. Macek, *European Ceramic Society*, **27**, 2007, 1405.
- [23] P.A. Lessing, *Ceramic Bulletin*, **68**, 1989, 1002.
- [24] Ch. Laberty-Robert, F. Ansart, C. Deloget, M. Gaudon, A. Rousset, *Materials Research Bulletin*, **36**, 2001, 2083.
- [25] C.L. Robert, F. Ansart, S. Castillo, G. Richard, *Solid State Sciences*, **4**, 2002, 1053.
- [26] V. Menvie Bekale, C. Legros, C. Haut, G. Sattonnay, A.M. Huntz, *Solid State Ionics*, **177**, 2006, 3339.
- [27] J. Macek, B. Novosel, M. Marinsek, *European Ceramic Society*, **27**, 2007, 487.
- [28] T. Razpotnik, V. Francetic, J. Macek, *Material in Technology*, **40**, 2006, 69.
- [29] F. Vratny, S. Kern, F. Gugliotta, *Inorganic and Nuclear Chemistry*, **17**, 1961, 281.
- [30] P. Mazur, D. Hreniak, J. Nittykoski, J. Holsa, *Materials Science Poland*, **24**, 2005, 261.
- [31] M.A. Elmasry, A. Gaber, E.M. Khater, *Thermal Analysis and Calorimetry*, **52**, 1998, 489.
- [32] Ch. Kuo, Y. Lee, K. Fung, M. Wang, *Non-Crystalline Solids*, **351**, 2005, 304.
- [33] C. Suciu, A.C. Hoffmann, E. Dorolti, R. Tetean, *Chemical Engineering*, **140**, 2008, 586.

#### ۴- نتیجه‌گیری

- با استفاده از فناوری سنتز توسط روش سل-ژل پلیمری، زیرکونیای پایدار شده با ایتریا (YSZ) حاوی افزودنی‌های اکسید سریم و اکسید نیکل به نحو مطلوبی تهیه شد بطوریکه نانوپودر Ni/Ce-YSZ ایجاد گردید.
- فاز مورد نظر در دمای کلسیناسیون ۹۰۰ °C تشکیل شد.
- نتایج XRD نشان دهنده تک فاز بودن نمونه می‌باشد.
- ورود یون‌های اکسید سریم و اکسید نیکل به داخل شبکه YSZ باعث تشکیل محلول جامد شده است.
- میانگین اندازه بلورک محاسبه شده توسط رابطه شرر ۱۱ نانومتر می‌باشد. دمای مناسب کلسیناسیون دلیلی بر عدم رشد افراطی ذرات تشخیص داده شد.
- نتایج SEM نشان دهنده رشد غیرافراطی دانه‌ها است و دانه‌های خیلی ریز در کنار دانه‌های خیلی درشت رشد نکرده‌اند.
- میانگین اندازه ذرات پودر حاصله توسط SEM حدود ۴۵ نانومتر تعیین شده است.
- میانگین اندازه ذرات پودر سنتز شده توسط آنالیز TEM، حدود ۱۷ نانومتر گزارش شد.

#### مراجع

- [1] A. Mukherjee, B. Maiti, A.D. Sharma, R.N. Basu, H.S. Maiti, *Ceramics International*, **27**, 2001, 731.
- [2] P. Lenormand, D. Caravaca, C. Liberty-Robert, F. Ansart, *European Ceramic Society*, **25**, 2005, 2643.
- [3] H. Kondo, T. Sekino, T. Kusunose, T. Nakayama, Y. Yamamoto, K. Niihara, *Materials Letters*, **57**, 2003, 1624.
- [4] S. Somacescu, V. Parvulescu, P. Osiceanu, J.M. Calderon-Moreno, B. Su, *Colloid and Interface Science*, **363**, 2011, 165.
- [5] A. Tiwari, A.K. Mishra, H. Kobayashi, A.P. Turner, "Intelligent Nanomaterials", Wiley, New York, 2012.
- [6] C.Y. Hawa, F. Mohamed, C.H. Chia, S. Radiman, S. Zakaria, N.M. Huang, H.N. Lim, *Ceramics International*, **36**, 2010, 1417.